

基於邊緣計算之智慧工廠下精粹深度學習法於零工式生產排程

陳芋勻¹ 吳和晏¹ 林春成^{1,*}

¹ 國立陽明交通大學工業工程與管理學系

*cclin321@nycu.edu.tw

摘要

在工業 4.0 的概念下，自動化在半導體製造中扮演關鍵角色，而有效的排程能減少浪費並提高系統利用率，因此排程是成本控制的關鍵。這項研究使用了多決策深度學習(Multi-Decision Reinforcement Learning, MDRL)作為基礎架構，融合了邊緣運算和雲端運算的智慧工廠架構。透過雲端的神經網路計算，為各個機台制定最佳的派工規則，並透過邊緣運算裝置進行監控，將機台運作資料傳回雲端，不只提供即時資訊並確保生產流程順暢，還是下一個學習週期的基礎。然而，MDRL 仍有改進的空間。因此，本研究旨在優化 MDRL，將其概念應用於靈活製造中的排程問題，進一步提高系統運行效率。優化的方法包括減少神經網路輸入層資料的複雜度，藉此減輕雲端運算裝置的負擔。此外，通過刪除實驗結果不佳的派工法則，整體效率得到顯著提升。同時，為提高結果準確度，本研究增加神經網路中狀態資料的分割密度，提高效率的同時保持資料精準度。

關鍵字：智慧工廠、零工生產問題、雲端計算、邊緣計算、多決策深度學習

1 緒論

晶圓代工廠的排程在製造過程中扮演關鍵的角色，有效的排程可以幫助管理者監控生產狀況，減少資源浪費，提高整體系統利用率。目前排程優化的研究著重於分散式智慧排程，根據半導體產品特性的多樣性，採用了多決策深度強化學習方法。然而，儘管這方法能貼合產品需求，仍有優化的空間。本研究將提出改善方案，進化排程系統。

從過去的相關研究中，已經有一些強化學習架構試圖改善 JSP 問題，目標是取得用時短且不存在重疊的排程結果。有 JSP 相關研究(Zhang et al., 1995)提出強化學習方法來學習特定領域的啟發式算法，並用於 Job shop scheduling 排程。該方

法利用了時間差異算法來訓練計算模型，並用於對每個狀態進行評估，進而產生評估函數。接下來在涉及少量工作的問題上進行訓練，最後在更大的問題上進行測試，證實強化學習可以提供構建高性能排程系統的新方法。

目前排程優化研究多著重分散式智慧排程，根據半導體產品特性的多樣性，採用了多決策深度強化學習方法(Lin et al., 2019)。然而，儘管這方法能貼合產品需求，仍有優化的空間。本研究將提出改善方案，進化排程系統。本研究之主要貢獻如下：

- 在保留機台收集資料排程的數據真實度，讓決策系統做出更精準的判斷。同時保留MDRL的精隨。
- 為了降低運算成本，本研究提出的架構縮減神經網路的輸入層參考資料，也針對效率明顯低落的派工法則進行刪減。除了能精簡整個系統的資料複雜度，還能減輕神經網路運算的負擔，進而達成降低成本的最終目的。

2 文獻回顧

2.1 智慧工廠、雲端計算與邊緣計算

排程系統的效率 and 效益是取得競爭優勢的關鍵因素。提高機台利用率能有效降低工廠資本成本，而排程正是優化機台利用率的核心。邊緣計算裝置的引入能夠減少訂單排程的反應延遲時間。根據(Yi et al., 2015)以及(Ha et al., 2014)的研究，邊緣計算裝置對提升效率有著顯著的影響。此外雲端計算也是熱門的研究對象，能夠快速指派運算結果及同時監控和量測各機台裝置的運行情況。

2.2 深度強化學習(Deep Reinforcement Learning)

深度學習(Deep Learning) (LeCun et al, 2015)與強化學習(Reinforcement Learning) (Sutton et al, 1998)兩者的結合便形成了深度強化學習(Deep Q-Learning)。與一般取最近一次的經驗學習不同，深度強化學習是利用先前的經驗進行隨機採樣學習。深度 Q 網路(Deep Q Network, DQN)的概念為設計出一神經網路，透過紀錄狀態並輸出每一行為的 Q 值，來減少記憶體中需儲存的資訊量。作為 RL 的一種延伸算法。

2.3 多決策強化學習方法(Multi-Decision Reinforcement Learning, MDRL)

於是本研究選用 MDRL，也就是同時具備邊緣計算裝置以及雲端計算裝置的

排程系統，以解決零工生產問題。但 MDRL 仍存瑕疵，也就是汲取過多非必要資訊，考量不具優化效益的派工法則，增加計算裝置的負擔，並且在數據統計切分方面，過度模糊導致無法精準呈現數據的真實性。總結來說，整體計算裝置的運算速度無法達到最佳表現。

3 研究方法

本研究之目標為利用本研究所提出的精簡深度強化學習(Refined Deep Q Learning, RDQN)來解決有雲端計算與邊緣運算架構之智慧工廠中的零工生產排程(如圖 1 所示)，為每部機台分配達最高效率的派工法則，並依此排定加工順序。雲端計算中心依客戶訂單的加工資訊為每部機台分配派工法則(如表 2 所示)，邊緣計算確定每部機台的排程結果後，將修正神經網路所需資訊回傳到雲端計算中心，雲端計算中心則基於回饋來調整神經網路，以用於下一次神經網路運算。

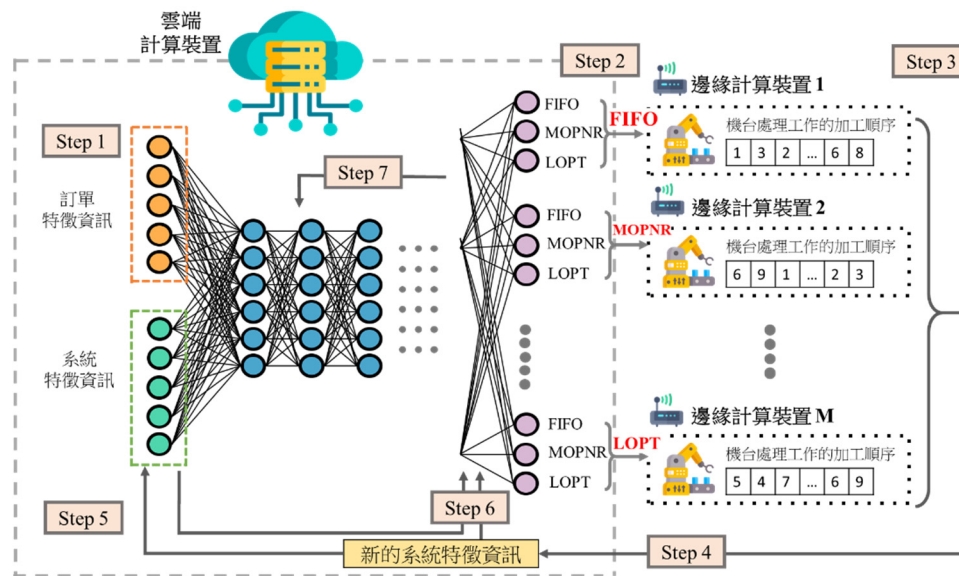


圖2、本研究所提出RDQN之流程圖

本研究所提 RDQN 與 MDRL 有下列幾點的差異：1) 派工法則的採用數量：在 MDRL 論文的基礎上，我們對派工法則的數量進行了刪減，針對其中四個工時間明顯較長的派工法則 SPT、LPT、SQN、LQN 刪除，只保留 FIFO、MOPNR、LOPT。減少神經網路進行運算的時間，精簡化派工法則的複雜度。2) 減少輸入層：同理，為了降低資料輸入所耗費的時間與程序，將輸入層的數量略作減少。3) 減少資料的失真：為了避免 C_{\max} 與利用率失真，因此新增至 8 個區間，使資料不因區間數量而失去參考性。

表 2、本研究所使用之派工法則表

| 派工法則 | 優先條件 |
|--|------------------|
| 先進先出法 (First In First Out, FIFO) | 越先早到達之工作越優先加工處理。 |
| 最長後續加工時間 (Most Operations Remaining, MOPNR) | 後續作業加工時間越短越優先處理。 |
| 最多後續工作數 (Longest operation processing time, LOPT) | 後續作業加工時間越長越優先處理。 |

本研究提出基於多決策深度強化學習的 RDQN 方法，能更有效率的解決智慧工廠的零工排程問題。以下將說明如何透過此方法訓練一個自動排程的模型，並將流程透過 Algorithm 1 表示。本研究所使用到的符號總結如表 3 所示，而所訓練的神經網路輸入層組成如表 4 所示。

Algorithm 1: MDRL

Input: Train set $\mathcal{T}_{\text{train}}(1, 2, \dots, N)$
Output: θ (Weight of neural network)

- 1: **for** $n = 1, 2, \dots, N$ **do**
 - 2: Cloud center reads J jobs in customer order n and assigns a random or certain dispatching rule to each edge device
 - 3: Compute system features $\bar{F}, C_{\max}, \bar{Q}, \{\mu_m\}$, and $\{\bar{O}_m\}$
 - 4: Create a state based on $(J, C_{\max}, \mu_1, \mu_2, \dots, \mu_M)$ in the Q table
 - 5: Construct an NN with $8 + 2 \cdot M$ input neurons and $7 \cdot M$ output neurons
 - 6: **for** epoch number $t = 1, 2, \dots, T$ **do**
 - 7: The cloud center conducts neural network forward propagation in the cloud center // **Algorithm 2**
 - 8: The cloud center determines dispatching rules of all machines, and transmit the information to each edge device // **Algorithm 3**
 - 9: Each edge device schedules all jobs in the controlled machine by the assigned dispatching rule // **Algorithm 4**
 - 10: The cloud center repairs the scheduling results that violates the research hypothesis. // **Algorithm 5**
 - 11: The cloud center creates a state based on $(J, C_{\max}, \mu_1, \mu_2, \dots, \mu_M)$ in the Q table, and uses $q'_m = [q_m + (\mu'_m - \mu_m)/\mu_m] + \gamma \cdot \text{Max}_a Q[s', a]$ to update the Q table and the neuron values in the output layer
 - 12: The cloud center updates the system features: $\bar{F}, C_{\max}, \bar{Q}, \{\mu_m\}$, and $\{\bar{O}_m\}$
 - 13: Update the hidden layer by using the loss function $E[(Q'_m - Q_m)^2]$
 - 14: **next for**
 - 15: **next for**
-

表 1、本研究所用之符號

| 符號 | 意義 |
|----------|------------------------|
| N | 訂單中的第 N 筆作業 |
| T | 訓練模型之迭代數(Epoch) |
| M | 機台數量 |
| J | 工作數量 |
| P_{jm} | 工作 j 在機台 m 的加工時間 |
| F_m | 機台 m 的完工時間 |
| C_j | 工作 j 的完工時間 |
| Q_{jm} | 工作 j 在機台 m 的等候加工時間 |
| μ_m | 機台 m 的利用率 |
| I_m | 機台 m 的閒置時間 |
| O_m | 機台 m 的在製品數量 |
| K_{jm} | 工作 j 在機台 m 的完工時間 |

表 2、神經網路輸入層組成

| 客戶訂單特徵資訊 | |
|------------|--------------------------------------|
| 機台數量 | M |
| 工單數量 | J |
| 總加工時間 | $\sum_j \sum_m P_{jm}$ |
| 最大加工時間 | $\text{Max}_{j,m} P_{jm}$ |
| 最小加工時間 | $\text{Min}_{j,m} P_{jm}$ |
| 系統特徵資訊 | |
| 平均流程時間 | $\bar{F} = (\sum_j C_j)/J$ |
| 總處理時間 | $C\text{Max}_j j_{\max}$ |
| 工單平均等候處理時間 | $\bar{Q} = (\sum_j \sum_m Q_{jm})/J$ |
| 各機台使用率 | $\mu_m = (F_m - I_m)/F_m$ |
| 各機台在製品數量 | $\bar{O}_m = (\sum_j K_{jm})/F_m$ |

以下為針對 RDQN 的 7 個步驟的詳細說明：

- 1) **Step 1 (在雲端中心的神經網路)**：如 Algorithm 2 所示，利用 J 個工作的訂單資訊，作為計算出訂單特徵資訊與系統特徵資訊的來源(第 3 行)。接著，將這些資訊送入輸入層(第 4 行)，最終在輸出層產生結果(本研究稱為 Q-value)。
- 2) **Step 2 (指派派工法則)**：如 Algorithm 3 所示，獲取到新的 Q-value 之後，雲端計算中心會根據輸出層提供的結果，將特定派工法則指派給所有的邊緣計算裝置。每一個機台均會被指派一種派工法則，由於此研究中有三個派工原則，因此每三個輸出層神經元就是一個機台。在本研究的 ε -greedy policy

中， ε 設為 0.9，是隨機選一個派工法則的機率。而選擇擁有最大輸出值的派工法則的機率是 0.1，隨著訓練模型的迴圈次數變多， ε 會隨著遞減。

Algorithm 2: Experimental Procedure

Input: Information of J jobs

Output: Q-values (neuron values in the output layer of neural network)

- 1: Compute $\sum_j \sum_m P_{mj}$, $\max_{m,j} P_{mj}$, and $\min_{m,j} P_{mj}$.
 - 2: The order features M , J , $\sum_j \sum_m P_{mj}$, $\max_{m,j} P_{mj}$, $\min_{m,j} P_{mj}$ and the system features are fed into the neural network's input layer.
 - 3: If this is the first epoch, the neural network's hidden layer will initialize its weights randomly.
 - 4: Execute once of the neural network forward propagation.
-

Algorithm 3: Determining dispatching rules

Input: Q-value (neural network's output layer values)

Output: Dispatching rules for all machines

- 1: **for** $m = 1$ to M **do**
 - 2: **if** $P \leq \varepsilon$ **then**
 - 3: Assign machine m with a random dispatching rule
 - 4: **else**
 - 5: Assign machine m with the dispatching rule corresponding to the largest output neuron value in the m -th group of output neurons
 - 6: **end if**
 - 7: **next for**
-

- 3) **利用派工法則排定機台的排程(Step 3)**：如 Algorithm 4 所示，在第 m 台機台接收到雲端計算裝置所指派的派工法則後，每個邊緣計算裝置為機台進行排程。此外為了避免作業處理順序雷同的狀況，會依序利用 MONPR、SPT、Random 三種方法加以修正，最終生成的便是個別機台的加工處理順序。
- 4) **修正機台排程結果**：如 Algorithm 5 所示，雖然前項的演算法可以有效的為各別機台機算出可行的排程結果，然而在雲端計算中心針對所有機台的排程進行宏觀性的監控時，容易發生作業於機台或機台於作業中有重疊的問題，因此需要對此進行修正。
- 5) **更新 Q 表與輸出層(Step 5)**：我們將邊緣計算裝置連結的智慧工廠狀態定義了意下幾項： $(J, C_{\max}, \mu_1, \mu_2, \dots, \mu_M)$ ，Q 表紀錄各個狀態轉換截至目前最佳的輸出行為結果，而後根據這些數據進行分配派工法則的依據。在狀態中 C_{\max} 為工作完成的最大時間，而 $\mu_1, \mu_2, \dots, \mu_M$ 則代表各個機台在該狀態的利用率，兩者的值域皆頗為廣大。因此在進行模型訓練時為了縮短訓練所需時間，並盡量降低資料的失真程度，我們將兩者各切分為 8 類。
- 6) **更新系統特徵**：接著會在根據新的系統特徵資料 $(\bar{F}, C_{\max}, \bar{Q}, \{\mu_m\}, \{\bar{O}_m\})$ 以及更新過後的 Q 表，作為下一階段神經網路輸入層中的特徵值。

Algorithm 4: Determining the scheduling result of a machine**Input:** The assigned dispatching rule of machine m **Output:** Scheduling result of machine m

```

1: All edge devices schedule all jobs in each machine according to the assigned dispatching rule and
   it comes out all scheduling result
2: for  $m = 1$  to  $M$  do
3:   While the scheduling result based on the assigned rule is infeasible then
4:     if the scheduling result is infeasible then
5:       if the assigned rule is not MOPNR then
6:         Use the MOPNR rule to repair the repeated job numbers in the scheduling result
7:       end if
8:       if the scheduling result is infeasible then
9:         if the assigned rule is not SPT then
10:          Use the SPT rule to repair the repeated job numbers in the scheduling result
11:        end if
12:        if the scheduling result is infeasible then
13:          A random schedule result is adopted
14:        end if
15:      end if
16:    end if
17:  next for

```

Algorithm 5 Repairing scheduling results**Input:** The scheduling results of all machines**Output:** A correct scheduling result for each machine

```

1: for  $i = 1$  to  $J$  do
2:   for  $j = 1$  to  $M - 1$  do
3:      $m_1$  = index of the machine that processes task  $j$  of job  $i$ 
4:      $m_2$  = index of the machine that processes task  $(j + 1)$  of job  $i$ 
5:     Let  $T_{im_1}^s$  denote the starting time and  $T_{im_1}^e$  denote the end time of job  $i$  at machine  $m_1$ 
       according to the scheduling result of machine  $m_1$ 
6:      $\delta_1 = T_{im_1}^e - T_{im_2}^s$ 
7:     if  $\delta_1 > 0$  then
8:        $T_{im_2}^s = T_{im_2}^s + \delta_1$  and  $T_{im_2}^e = T_{im_2}^e + \delta_1$ 
9:       Let  $j_2$  denote the ordinal number in which job  $i$  is processed at machine  $m_2$  according
       to the scheduling result of machine  $m_2$ , i.e., job  $i$  is the  $j_2$ -th job to be processed at
       machine  $m_2$ 
10:      for each job  $k$  processed after job  $i$  at machine  $m_2$  except for the last job do
11:        Let  $k'$  denote the index of the job processed next to job  $k$  at machine  $m_2$ 
12:         $\delta_2 = T_{km_2}^e - T_{k'm_2}^s$ 
13:        if  $\delta_2 > 0$  then
14:           $T_{k'm_2}^s = T_{k'm_2}^s + \delta_2$  and  $T_{k'm_2}^e = T_{k'm_2}^e + \delta_2$ 
15:        end if
16:      next for
17:    end if
18:  next for
19: next for

```

- 7) **更新隱藏層**：在最後則會再次回到第一步驟的驗算法中，將預測的 Q 值以及 Q 表中的 Q 值帶入損失函數： $E[(Q_m' - Q_m)^2]$ ，也就是 Q_m' 減去 Q_m 的平方後之期望值作為隱藏層中權重更新的依據。

4 實驗結果

4.1 實驗環境

本研究中採用 job shop 指標資料庫中之資料集進行實驗，命名為「Lawrence (la)」、「Demirkol, Mehta, and Uzsoy (dmu)」、「Taillard (ta)」、「Applegate and Cook」。而模型中需要參數分別是神經網路中隱藏層裡面神經元的數量， ϵ -greedy 策略的參數，以及在更新 Q 表時使用的學習率。經過分析後得出最佳參數值分別是 $NN = 100$ 、 $\epsilon = 0.9$ 、 $\epsilon\text{-diff} = 0.01$ 、 $\gamma = 0.7$ 。

4.2 參數分析

本階段會分析後續模型會需要的參數，並依據不同參數的收斂程度選擇最適當的最佳參數值。以神經網路中隱藏層裡面神經元的數量為例進行分析。在「la01」資料集中 $M = 5$ 及 $J = 10$ 的清況下，將起始值設定為 50。從圖 3 中可以看出，當神經元達到 100 時，整體的收斂效果相較其他數值佳，因此我們設定 100 為神經元數量最佳參數值。

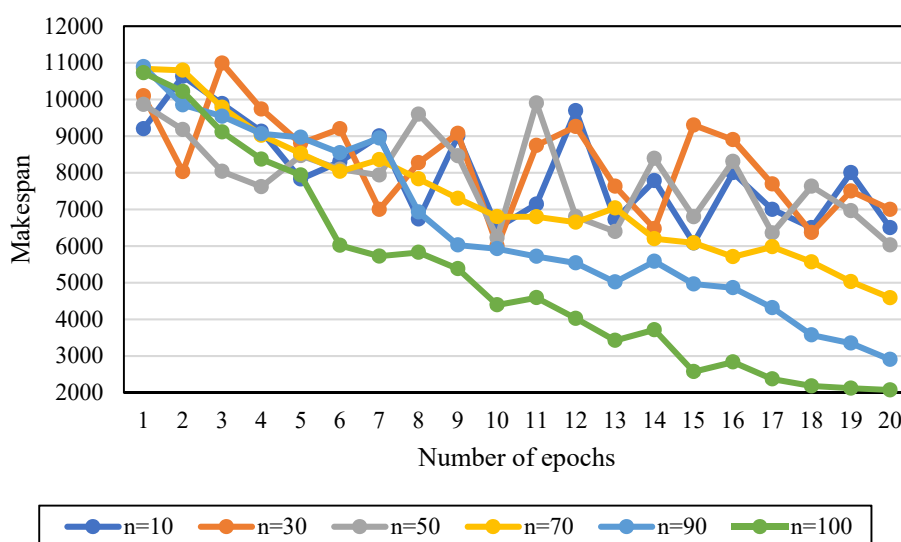


圖3、神經元數量分析

再以 $\epsilon\text{-diff}$ 參數為例，從圖 4 中可知，此參數越小，模型的收斂速度越慢。而相較於其他測試值，起始值也就是 0.01 是最大的，我們便將此最佳參數值設為 0.01。

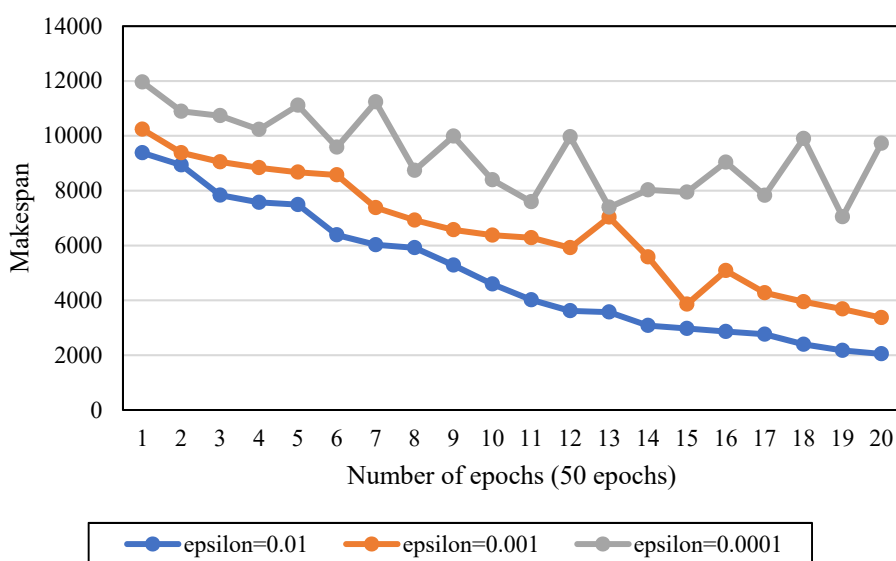


圖4、epsilon-diff參數收斂分析

4.3 實驗結果分析

本研究比較了 RDQN 與複合式派工法則及單一派工法則的訂單總完工時間。SDR 及 MDR 分別代表單一及複合式的派工法則，Random 則是間指派個機台處理加工順序。從表 6 中可知在機台數量為 15 的情況下，RDQN 的完工效率較 MDR 高出了 11.217%。

表 6、不同策略的計算時間比較

| Instance | J | M | Random | RDQN | MDR | | SDR | |
|----------|----|----|--------|-------------|------|------|------|-------|
| | | | | | MDRL | FIFO | LOPT | MOPNR |
| ta06 | 15 | 15 | 11482 | 1020 | 1386 | 1496 | 1683 | 1736 |
| ta07 | 15 | 15 | 12083 | 1204 | 1496 | 1693 | 1583 | 1739 |
| ta08 | 15 | 15 | 10735 | 1485 | 1592 | 1830 | 1376 | 1736 |
| ta09 | 15 | 15 | 11446 | 1032 | 1296 | 1482 | 1395 | 1303 |
| ta10 | 15 | 15 | 11587 | 1386 | 1605 | 1704 | 1953 | 2074 |
| ta16 | 20 | 15 | 20951 | 1395 | 1486 | 1583 | 1493 | 1624 |
| ta17 | 20 | 15 | 19725 | 1527 | 1794 | 1936 | 2084 | 2104 |
| ta18 | 20 | 15 | 19129 | 1639 | 1936 | 2385 | 2159 | 2275 |
| ta19 | 20 | 15 | 18067 | 1875 | 2057 | 2204 | 2047 | 2493 |
| ta20 | 20 | 15 | 19131 | 1694 | 1835 | 1957 | 1796 | 2041 |
| ta36 | 30 | 15 | 34034 | 2642 | 2794 | 2947 | 2836 | 2815 |
| ta37 | 30 | 15 | 32037 | 2306 | 2507 | 2749 | 2645 | 2603 |
| ta38 | 30 | 15 | 34817 | 2684 | 2935 | 3085 | 2947 | 3195 |
| ta39 | 30 | 15 | 33066 | 2386 | 2679 | 2794 | 3021 | 2905 |
| ta40 | 30 | 15 | 36733 | 2589 | 2860 | 2974 | 3185 | 3075 |

5 結論

本研究所提出的架構適用於半導體的零工生產式智慧工廠。工廠會接收到來自客戶端的訂單資訊，將資訊傳入雲端計算裝置，並與邊緣計算裝置互動後，選擇出最適合該工作站的派工法則。本研究基於多決策深度強化學習(MDRL)的模型，進行效率的提升，分別是派工法則數量的刪減、增加狀態資料的密度、減少輸入層資料數量。依照實驗結果顯示，RDQN 模型在派工法則的決策效率相較 MDRL 有顯著的提升，尤其是當機台數量較多時，效率提升程度更佳。

關於未來展望，我們預期此研究模型可進行其他延伸。針對方法面向，未來研究可以調整 Q 表的計算方式、更改回饋值計算公式。而針對模型面向，未來研究可以延伸如在模型中加入霧計算，或將神經網路強化為 Double DQN 的架構。因此，此研究的後續應用範圍相當廣泛。

參考文獻

- Applegate, D., and W. Cook (1991), "A computational study of the job-shop scheduling problem," *ORSA Journal on Computing*, vol. 3, no. 2, pp. 149-156.
- Ha, K., et al. (2014), "You can teach elephants to dance: agile VM handoff for edge computing," in *Proceedings of the 2nd ACM/IEEE Symposium on Edge Computing (SEC 2017)*, article no. 12.
- LeCun, Y., Bengio, Y. and Hinton, G. (2015) "Deep learning," *Nature*, vol. 521, pp. 436-444.
- Lin, C.-C., D.-J. Deng, Y.-L. Chih, and H.-T. Chiu (2019), "Smart manufacturing scheduling with edge computing using multiclass deep Q network," *IEEE Transactions on Industrial Informatics*, vol. 15, no. 7, pp. 4276-4284.
- Sutton, R. S., and A. G. Barto (1998), "Reinforcement learning: An introduction," *IEEE Transactions on Neural Networks*, vol. 9, no.5, pp. 1054-1054
- Yi, S., C. Li, and Q. Li (2015), "A Survey of Fog Computing: Concepts, Applications and Issues," in *Proceedings of 2015 Workshop on Mobile Big Data (Mobidata 2015)*, pp. 37-42
- Zhang, W., and T. G. Dietterich (1995), "A reinforcement learning approach to job-shop scheduling," in *Proceedings of 14th International Joint Conferences on Artificial Intelligence*, vol. 2, pp. 1114-1120.